

DOI:10.3963/j.issn.1671-4431.2009.21.035

复合材料风电叶片有限元刚度分析

靳交通¹,梁鹏程¹,曾竟成²,杨跃华¹,江翼¹

(1. 株洲时代新材料科技股份有限公司,株洲 412007;2. 国防科学技术大学航天与材料工程学院,长沙 410073)

摘要: 建立了某兆瓦级风电叶片的三维模型并采用有限软件 ANSYS 的壳单元 shell99 对风电叶片进行了模态分析和静力分析。结果表明:风电叶片 flapwise 和 edgewise 2 个方向上一阶固有频率以及 2 种载荷工况下的位移分析结果与实测结果基本吻合,从而证明了该方法的可行性。该方法缩短了建模时间,提高了工作效率,对工程上叶片结构校核及新产品开发具有一定的指导意义。

关键词: 复合材料叶片; 有限元; 模态; 刚度

中图分类号: TK 83

文献标识码: A

文章编号:1671-4431(2009)21-0133-04

Finite Element Analysis for Composite Material Wind Rotor Blade Stiffness

JIN Jiaotong¹, LIANG Peng-cheng¹, ZENG Jing-cheng², YANG Yue-hua¹, JIANG Yi¹

(1. Zhuzhou Times New Materials Technology Company LTD, Zhuzhou 412007, China;

2. School of Aerospace and Material Engineering, National University of Defense Technology, Changsha 410073, China)

Abstract: This paper created three-dimensional model for one type of blade. Blade model was imported to ANSYS environment for finite element analysis. the modal analysis and the static analysis of this blade were calculated by shell99 element. The first natural frequency in flapwise and edgewise and the displacement value in the two load case were basically consistent with testing result. Therefore, this method was feasible. This method could shorten modeling time and improve working efficiency, and also it was the base for blade structure calculation and check and new product developing.

Key words: composite material rotor blade; finite element; mode; stiffness

复合材料叶片是风机设备中将风能转化为机械能的关键部件^[1]。目前,叶片尺寸正在朝着大型化的方向发展,而其结构性能试验的成本也随之增加,因此,找到一种有效的结构计算分析方法对于节约成本以及结构校核和开发新型叶片就显得尤为重要。

随着计算机技术的发展,有限元法在结构分析中得到了广泛的应用。有限元强大的建模和结构分析功能适用于复合材料叶片的应力、变形、频率、屈曲、疲劳及叶根强度分析。ANSYS 是一款著名的商业化大型通用有限元软件,广泛应用于航空航天、机械制造等领域。ANSYS 多物理场仿真及耦合的独特功能,以及 200 多种单元类型,可以对复合材料结构设计、材料研究及制造工艺提供完整的解决方案。总之,对于复合材料结构计算分析,完全可以通过 ANSYS 程序来实现^[2]。

但是,因复合材料叶片结构的特殊性,例如:1) 形状不规则(每个截面都不同);2) 铺层复杂,过渡层很多;3) 大量夹层结构(“三明治”结构);4) 大量粘结区域。所以,其有限元模型的建立是叶片结构有限元分析中的

收稿日期:2009-06-15.

基金项目:国家 863 项目(2007AA03Z563)和湖南省重大科技专项(2006GK1002).

作者简介:靳交通(1980-),男,硕士. E-mail:jinjiaotong@yahoo.com.cn

一大难题,而单元类型的选择又决定着建立有限元模型的难易。目前,复合材料风电叶片有限元模型在单元类型的选择上主要采用3种单元类型:shell99壳单元、shell91壳单元、Solid46实体单元。选择实体单元,虽然能提高有限元的计算精度,但是建立叶片的有限元模型会花费大量的工作时间,且很难定义单元坐标,这非常不利于工程上叶片的结构校核及分析;选择壳单元,可以方便地设置和修改铺层厚度,单元坐标的设置容易实现,建模和计算时间比采用实体单元少,这极大地提高了工作效率,而且其计算精度完全可以满足工程需要。因此,使用shell99壳单元,通过三维建模,建立了叶片的有限元模型,并以悬臂梁的方式,对叶片的模态和静力变形进行了计算分析,通过计算,得出了叶片的重量、振型及最大变形,并与试验数据进行了对比。

1 有限元模型的建立

由于叶片形状复杂,而一般有限元软件所提供的几何建模工具功能相当有限,所以在ANSYS中难以快速方便地对其建模。因此,针对较复杂的结构,可以先在三维CAD软件(如在PROE中)建立几何模型,然后在有限元分析软件ANSYS中通过输入接口读入实体模型,最后,在ANSYS环境下,通过几何修补和简化、板壳中面抽取、节点偏置、网格自动划分等技术对叶片模型进行处理,并形成高效准确的有限元模型,使之适用于CAE分析。

1.1 单元设置与材料属性

针对叶片中的梁、壳等复合材料层合结构,ANSYS提供了一系列的特殊单元——结构多层复合材料单元,以模拟各种复合材料。铺层单元中可以考虑复合材料特有的铺层特性和各向异性特性。

计算采用的是相对简单的线性铺层单元Shell99。该单元是1种8节点3D壳单元,每个节点有6个自由度,主要适用于薄到中等厚度的板和壳结构,一般要求宽厚比应大于10。Shell99可实现多达250层的等厚材料层,或者125层厚度在单元面内呈现双线性变化的不等厚材料层。如果材料层大于250,用户可通过输入自己的材料矩阵形式来建立模型,还可以通过一个选项将单元节点偏置到结构的表层或底层。

单元铺层主要是确定纤维方向和纤维量,是复合材料风电叶片结构设计的一个重要环节。铺层设计的优劣在很大程度上决定着结构设计的成败^[3]。

该计算的铺层完全按照工艺铺层进行设计。在ANSYS环境下,针对Shell99单元,通常有2种方法来定义材料层的配置:1)通过定义各层材料的性质;2)通过定义表示宏观力、力矩与宏观应变、曲率之间相互关系的本构矩阵。第1种方法是由下到上一层一层定义材料层的配置,底层为第1层,后续的层沿单元坐标系的Z轴正方向自底向上叠加,对于每一层材料,由单元实常数表来定义材料性质、铺层方向角、厚度,如图1所示为叶片某部分的单元铺层;第2种方法是定义各层材料性质的另一种方式,矩阵表示了单元的力-力矩与应变-曲率的关系,必须在ANSYS外进行计算。

叶片的材料体系为玻纤/环氧,叶片制作采用真空灌注工艺,所用复合材料有:三轴向玻璃布、双轴向玻璃布、单轴向玻璃布、PVC泡沫、Balsa木、毡等。玻璃钢复合材料与泡沫材料的主要力学性能见表1、表2所示,其中,Ex为材料的纤维方向,玻璃钢复合材料的密度取=1 888 kg/m³,Balsa木密度取=150 kg/m³,PVC密度取=80 kg/m³。

表1 玻璃钢复合材料力学性能 / MPa

| 名称 | 符号 | 单轴布 | 双轴布 | 三轴布 |
|-------|----|--------|--------|--------|
| 玻纤/环氧 | Ex | 39 000 | 11 400 | 28 500 |
| | Ey | 8 920 | 11 400 | 13 500 |
| | Ez | 8 920 | 8 920 | 8 920 |

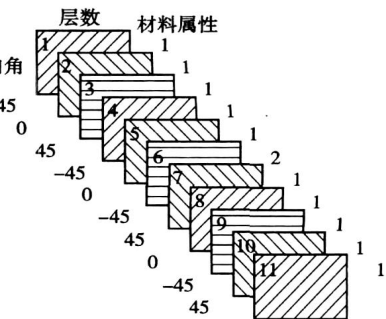


图1 单元铺层图

表2 泡沫材料力学性能 / MPa

| 名称 | 符号 | 模量值 |
|--------|-----|-------|
| Balsa木 | Ex | 1 000 |
| | Ey | 35 |
| | PVC | 65 |

1.2 模型建立与网格划分

首先,依据三维坐标变换原理求解出叶片空间截面翼型的实际位置,然后以大型三维软件 PROE 为工作平台,通过导入空间坐标点,生成 B 样条曲线,如图 2 所示为计算模型的三维线框图。

最后,由曲面扫掠命令生成叶片三维外形图,再结合曲面曲线分析命令对所生成的曲线、曲面进行检验和修改,直至生成符合要求的叶片三维外形图,如图 3 所示。将生成的三维模型转化为 IGES 格式文件,为后续建立有限元模型做准备。

将 PROE 导出的 IGES 格式文件,输入到 ANSYS 系统中,得到了 ANSYS 环境下的叶片三维模型。采用 Shell99 单元对叶片壳体、梁、腹板进行网格划分,有限元模型单元数为 29 914,节点数为 88 680,如图 4 所示。



图2 叶片线框投影图



图3 叶片外形图



图4 网格划分图

1.3 约束与载荷

叶片根部采用刚性固定的约束形式,即根部所在节点的 6 个自由度被固定,整个叶片简化为悬臂梁模型。加载方式与试验加载方法保持一致,第 1 个工况,即在 flapwise 方向,选择单点加载,施加集中力 39 kN,如图 5 所示;第 2 个工况,即在 edgewise 方向,选择 4 点加载,从左至右分别施加集中力 57.5 kN、21.4 kN、20.4 kN、36.2 kN,如图 6 所示。

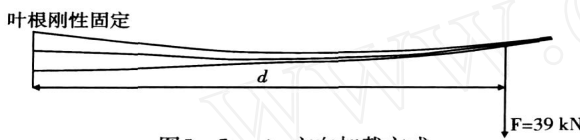


图5 flapwise 方向加载方式

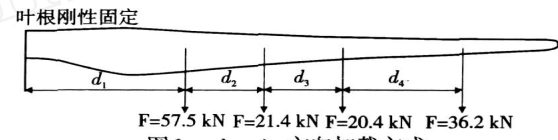


图6 edgewise 方向加载方式

2 计算结果与分析

2.1 质量计算结果

表 3 即为 ANSYS 输出的风电叶片质量计算结果,重心位置与实测值基本吻合,叶片总质量低于实际值。产生叶片质量计算值比实测值小的主要原因是叶片灌胶后,其泡沫的密度应该大于实际泡沫的密度,以及建立的叶片有限元模型没有考虑实际叶片中的附件(如接闪器等金属件)重量等。

表3 风电叶片质量计算结果

| | 质量/ kg | 重心(距叶根)/ m |
|--------|--------|------------|
| 实际值 | 5 950 | 12.1 |
| 有限元计算值 | 5 571 | 11.9 |
| 误差/ % | 6.4 | 1.65 |

表4 风电叶片一阶固有频率计算结果

| | 频率值/ Hz | |
|-------|----------------|----------------|
| | 一阶 flapwise 方向 | 一阶 edgewise 方向 |
| 试验值 | 0.8 | 1.46 |
| 计算值 | 0.89 | 1.61 |
| 误差/ % | 11.25 | 10.27 |

2.2 模态分析结果

表5 2 种载荷工况下风电叶片的最大挠度

| | 叶片最大挠度/ m | |
|-------|-------------|-------------|
| | flapwise 方向 | edgewise 方向 |
| 试验值 | 5.36 | 1.11 |
| 计算值 | 4.83 | 1.02 |
| 误差/ % | 9.9 | 8.1 |

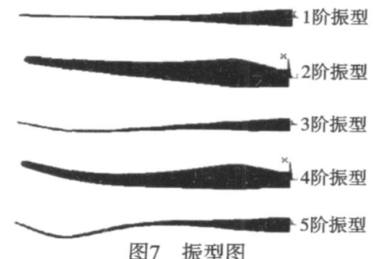
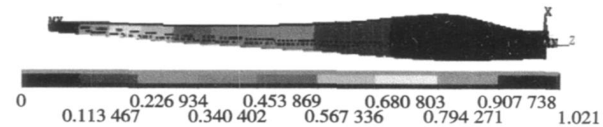
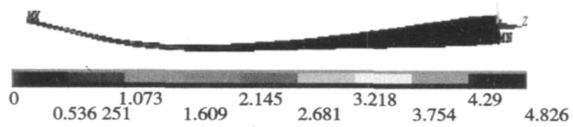


表4 即为 ANSYS 输出的风电叶片一阶固有频率计算结果,并且提取了叶片的前五阶振型,如图 7 所示。

由图7可知,一阶频率为flapwise方向一阶固有频率,二阶频率为edgewise方向一阶固有频率。由表4知叶片一阶固有频率的计算值比实测值大,造成计算值偏大的主要原因是叶根约束方式与试验(通过螺栓固定)不一致,以及计算质量小于实际质量等。

2.3 静力分析结果

表5即为2种工况下计算出的风电叶片最大挠度值,计算结果与实测值吻合较好。叶片变形如图8、图9所示。



3 结论

- a. 采用壳单元模拟风电叶片计算出叶片总质量、挠度变形与实测结果相对误差小于10%,证明了该方法在工程应用上的可行性和可靠性。
- b. 由于叶根约束方式与试验(通过螺栓固定)不一致以及计算质量小于实际质量等原因,叶片固有频率的计算值略高于实测结果。
- c. 采用壳单元计算风电叶片刚度,既可保证计算结果的可靠性又可缩短建模时间提高工作效率,对风电叶片结构分析的实际工程应用具有重要价值。

参考文献

- [1] Sohn Y U. Blade Design of a 750 kW Direct-drive WTGS[J]. WWEC, 2004(11):1-4.
- [2] 孟志华. ANSYS在航空复合材料数字化设计与制造工艺中的应用[J]. 航空制造技术, 2006(1):53-55.
- [3] 孙珊霞. 风力发电叶片结构及铺放性能研究[D]. 武汉:武汉理工大学, 2007.

(上接第128页)

- [8] Maazouz A, Dupuy J, Seytre G. Polyurethane and Unsaturated Polyester Hybrid Networks: Chemorheological and Dielectric Study for the Resin Transfer Molding Process (RTM) [J]. Polym Eng Sci, 2000, 40(3):690-701.
- [9] 路遥, 段跃新, 梁志勇, 等. 钠酚醛树脂体系化学流变特性研究[J]. 复合材料学报, 2002, 19(5):33-37.
- [10] 石凤, 段跃新, 梁志勇, 等. RTM专用双马来酰亚胺树脂体系化学流变特性[J]. 复合材料学报, 2006, 23(1):56-62.
- [11] 梁志勇, 段跃新, 林云, 等. 乙烯基酯树脂体系流变特性及RTM工艺窗口预报研究[J]. 材料工程, 2001(8):36-39.